Interazioni Elettrodeboli

prof. Francesco Ragusa Università di Milano

Lezione n. 16

29.11.2022

Proiezioni chirali

Correnti chirali - Universalità- Decadimento del leptone $\mu^- \to e^- \ \nu_e \ \nu_\mu$ Decadimento $\pi^- \to l^- \ \nu_l$ Decadimento $\tau^- \to \pi^- \ \nu_\tau$

anno accademico 2022-2023

• Esaminiamo in maggiore dettaglio la corrente leptonica

$$l^{\mu}(x) = \overline{\psi}_e(x) \gamma^{\mu} \left(1 - \gamma^5\right) \psi_{\nu}(x)$$

• L'elemento di matrice di $l^{\mu}(0)$ fra il vuoto e lo stato $|e^-\overline{
u}_e
angle$ è

$$\langle e^{-}\overline{\nu}_{e} | l^{\mu}(0) | 0 \rangle = \overline{u}_{p_{e}} \gamma^{\mu} (1 - \gamma^{5}) v_{p_{\nu}}$$

- Abbiamo già calcolato l'elemento di matrice di un operatore simile nel caso del decadimento β (slide 289)
- Ci chiediamo cosa implica la presenza della matrice $1-\gamma^5$
 - In particolare cosa implica per l'elettrone
 - Abbiamo visto che nel decadimento β gli elettroni sono polarizzati
- Trasportiamo la matrice $1-\gamma^5$ a sinistra

$$\begin{split} \overline{u}_{p_{e}} \gamma^{\mu} \left(1 - \gamma^{5} \right) v_{p_{\nu}} &= \overline{u}_{p_{e}} \left(1 + \gamma^{5} \right) \gamma^{\mu} v_{p_{\nu}} = u_{p_{e}}^{\dagger} \gamma^{0} \left(1 + \gamma^{5} \right) \gamma^{\mu} v_{p_{\nu}} \\ &= u_{p_{e}}^{\dagger} \left(1 - \gamma^{5} \right) \gamma^{0} \gamma^{\mu} v_{p_{\nu}} = \left[\left(1 - \gamma^{5} \right) u_{p_{e}} \right]^{\dagger} \gamma^{0} \gamma^{\mu} v_{p_{\nu}} = \overline{\left[\left(1 - \gamma^{5} \right) u_{p_{e}} \right]} \gamma^{\mu} v_{p_{\nu}} \end{split}$$

- Dimostriamo adesso che l'applicazione di $1-\gamma^5$ allo spinore u(p) produce un elettrone con polarizzazione β
 - β è la velocità dell'elettrone

Ricordiamo la definizione dell'operatore elicità

$$\hat{h}(\hat{\mathbf{n}}) = \frac{\mathbf{\Sigma} \cdot \mathbf{p}}{|\mathbf{p}|} = \mathbf{\Sigma} \cdot \hat{\mathbf{n}} \qquad \hat{\mathbf{n}} = \frac{\mathbf{p}}{|\mathbf{p}|}$$

- Nel seguito utilizzeremo la rappresentazione di Dirac
 - ullet In questa rappresentazione l'operatore Σ è
- ullet Consideriamo gli spinori u_+ e u_-

$$u_{+} = N iggl(rac{\chi_{+}}{\mathbf{\sigma} \cdot \mathbf{p} \chi_{+}} iggr) = N iggl(rac{\chi_{+}}{p \chi_{+}} iggr) \qquad u_{-} = N iggl(rac{\chi_{-}}{\mathbf{\sigma} \cdot \mathbf{p} \chi_{-}} iggr) = N iggl(rac{\chi_{-}}{E+m} iggr) \qquad N = \sqrt{E+m} iggr)$$

- $\chi_{\!\scriptscriptstyle{\pm}}$ sono spinori bidimensionali autovettori di $\sigma \cdot \hat{n}$
- Si verifica facilmente che gli spinori $u_{\!\scriptscriptstyle \pm}$ sono autostati dell'elicità $|\sigma\cdot\hat{f n}\chi_{+}=\pm\chi_{+}$

$$\left| \mathbf{\sigma} \cdot \hat{\mathbf{n}} \chi_{\pm} = \pm \chi_{\pm} \right|$$

• Infatti

$$egin{align*} oldsymbol{\Sigma} \cdot \hat{\mathbf{n}} \ u_+ &= egin{pmatrix} oldsymbol{\sigma} \cdot \hat{\mathbf{n}} & \mathbf{0} \\ oldsymbol{0} & oldsymbol{\sigma} \cdot \hat{\mathbf{n}} \end{pmatrix} N egin{pmatrix} \chi_+ \\ p\chi_+ \\ \overline{E+m} \end{pmatrix} &= N egin{pmatrix} oldsymbol{\sigma} \cdot \hat{\mathbf{n}}\chi_+ \\ p\sigma \cdot \hat{\mathbf{n}}\chi_+ \\ \overline{E+m} \end{pmatrix} &= +N egin{pmatrix} \chi_+ \\ p\chi_+ \\ \overline{E+m} \end{pmatrix} &= N egin{pmatrix} \chi_+ \\ p\chi_+ \\ \overline{E+m} \end{pmatrix} &= N egin{pmatrix} \chi_+ \\ \eta \chi_+ \\ \overline{E+m} \end{pmatrix} &= N egin{pmatrix} \chi_+ \\ \eta \chi_+ \\ \overline{E+m} \\ \overline{E+m} \\ \end{array} &= N egin{pmatrix} \chi_+ \\ \eta \chi_+ \\ \overline{E+m} \\ \end{array} &= N egin{pmatrix} \chi_+ \\ \eta \chi_+ \\ \overline{E+m} \\ \end{array} &= N egin{pmatrix} \chi_+ \\ \eta \chi_+ \\ \overline{E+m} \\ \end{array} &= N egin{pmatrix} \chi_+ \\ \eta \chi_+ \\ \overline{E+m} \\ \end{array} &= N egin{pmatrix} \chi_+ \\ \eta \chi_+ \\ \overline{E+m} \\ \end{array} &= N egin{pmatrix} \chi_+ \\ \eta \chi_+ \\ \overline{E+m} \\ \end{array} &= N egin{pmatrix} \chi_+ \\ \eta \chi_+ \\ \overline{E+m} \\ \end{array} &= N egin{pmatrix} \chi_+ \\ \eta \chi_+ \\ \overline{E+m} \\ \end{array} &= N egin{pmatrix} \chi_+ \\ \eta \chi_+ \\ \overline{E+m} \\ \end{array} &= N egin{pmatrix} \chi_+ \\ \eta \chi_+ \\ \overline{E+m} \\ \end{array} &= N egin{pmatrix} \chi_+ \\ \eta \chi_+ \\ \overline{E+m} \\ \end{array} &= N egin{pmatrix} \chi_+ \\ \eta \chi_+ \\ \overline{E+m} \\ \end{array} &= N egin{pmatrix} \chi_+ \\ \eta \chi_+ \\ \overline{E+m} \\ \end{array} &= N egin{pmatrix} \chi_+ \\ \eta \chi_+ \\ \overline{E+m} \\ \end{array} &= N egin{pmatrix} \chi_+ \\ \eta \chi_+ \\ \overline{E+m} \\ \end{array} &= N egin{pmatrix} \chi_+ \\ \eta \chi_+ \\ \overline{E+m} \\ \end{array} &= N egin{pmatrix} \chi_+ \\ \eta \chi_+ \\ \overline{E+m} \\ \end{array} &= N egin{pmatrix} \chi_+ \\ \eta \chi_+ \\ \overline{E+m} \\ \end{array} &= N egin{pmatrix} \chi_+ \\ \eta \chi_+ \\ \overline{E+m} \\ \end{array} &= N egin{pmatrix} \chi_+ \\ \overline{E+m} \\ \overline{E+m} \\ \end{array} &= N egin{pmatrix} \chi_+ \\ \overline{E+m} \\ \overline{E+m} \\ \overline{E+m} \\ \overline{E+m} \\ \end{array} &= N egin{pmatrix} \chi_+ \\ \overline{E+m} \\ \overline{E+m}$$

$$\mathbf{\Sigma} \cdot \mathbf{n} \, u_+ = +u_+$$

$$\mathbf{\Sigma} \cdot \mathbf{n} \, u_+ = + u_+$$
 e analogamente $\mathbf{\Sigma} \cdot \hat{\mathbf{n}} \, u_- = - u_-$

• In definitiva, per $\lambda = \pm 1$

$$\sum \cdot \hat{\mathbf{n}} \, u_{\lambda} = \lambda u_{\lambda}$$

- Il risultato precedente significa che $u_{\!\scriptscriptstyle \pm}$ rappresentano spinori completamente polarizzati ($\wp=100\%$)
 - $u_{\scriptscriptstyle +}$ è uno spinore con polarizzazione 100% in direzione parallela a ${
 m p}$
 - u_- è uno spinore con polarizzazione 100% in direzione antiparallela a ${
 m p}$
- Consideriamo adesso un arbitrario spinore nella rappresentazione di Dirac (non necessariamente normalizzato) $\chi = \frac{1}{2}(1+\gamma^5)u$

$$u(p) = N \begin{pmatrix} \chi \\ \frac{\mathbf{\sigma} \cdot \mathbf{p} \chi}{E + m} \end{pmatrix} \qquad u_R = \frac{1}{2} (1 + \gamma^5) u$$

$$u_L = \frac{1}{2} (1 - \gamma^5) u$$

- Definiamo le proiezioni chirali u_R e u_L
 - Ricordiamo la forma di γ^5 nella rappresentazione di Dirac

$$\gamma^5 = \begin{pmatrix} 0 & I \\ I & 0 \end{pmatrix} \qquad 1 - \gamma^5 = \begin{pmatrix} I & -I \\ -I & I \end{pmatrix} \qquad 1 + \gamma^5 = \begin{pmatrix} I & I \\ I & I \end{pmatrix}$$

Otteniamo

$$u_L = rac{1}{2} (1 - \gamma^5) u(p) = rac{N}{2} egin{pmatrix} I & -I \ -I & I \end{pmatrix} egin{pmatrix} \chi \ rac{\mathbf{\sigma} \cdot \mathbf{p} \chi}{E + m} \end{pmatrix} = rac{N}{2} egin{pmatrix} \left(1 - rac{\mathbf{\sigma} \cdot \mathbf{p}}{E + m}
ight) \chi \ - \left(1 - rac{\mathbf{\sigma} \cdot \mathbf{p}}{E + m}
ight) \chi \end{pmatrix}$$

 Notiamo che le componenti superiori dello spinore e quelle inferiori non sono più indipendenti

- ullet Lo spinore u_L non $\dot{f e}$ un autostato dell'operatore elicit $\dot{f a}$ h
 - Si può verificare facilmente che il valore medio dell'elicità è

$$\langle h \rangle_L = \frac{\langle u_L \mid \widehat{h} \mid u_L \rangle}{\langle u_L \mid u_L \rangle} = -\frac{p}{E} = -\beta$$

ullet Consideriamo adesso u_R

$$u_{R} = \frac{1}{2} (1 + \gamma^{5}) u(p) = \begin{pmatrix} I & I \\ I & I \end{pmatrix} \begin{pmatrix} \chi \\ \frac{\mathbf{\sigma} \cdot \mathbf{p} \chi}{E + m} \end{pmatrix} = \begin{pmatrix} \left(1 + \frac{\mathbf{\sigma} \cdot \mathbf{p}}{E + m}\right) \chi \\ \left(1 + \frac{\mathbf{\sigma} \cdot \mathbf{p}}{E + m}\right) \chi \end{pmatrix}$$

· Analogamente al caso precedente si può verificare che

$$\langle h \rangle_R = \frac{\langle u_R \mid \widehat{h} \mid u_R \rangle}{\langle u_R \mid u_R \rangle} = + \frac{p}{E} = +\beta$$

- Pertanto gli spinori u_L e u_R
 - Non sono autostati dell'operatore elicità
 - Tuttavia rappresentano stati con polarizzazione parziale $\wp=\pm eta$
 - Notiamo infine che per $\beta \to 1$ la polarizzazione diventa completa e le due proiezioni chirali diventano autostati dell'elicità

- Abbiamo pertanto ritrovato il risultato sulla polarizzazione eta che avevamo ottenuto precedentemente con il calcolo esplicito dell'elemento di matrice
 - Possiamo quindi interpretare la comparsa della polarizzazione degli elettroni come il risultato della struttura $V\!-\!A$ della corrente leptonica
 - L'operatore $1-\gamma^5$ proietta uno spinore arbitrario in uno stato di polarizzazione parziale longitudinale left-handed
 - ullet Ribadiamo inoltre che la polarizzazione diventa completa quando eta
 ightarrow 1
- Le notazioni u_R e u_L per indicare le proiezioni chirali possono generare confusione
 - Bisogna tenere distinti i concetti di chiralità e elicità
- L'Hamiltoniano delle interazioni deboli contiene le proiezioni chirali

Particelle di massa nulla

- · Approfondiamo l'ultimo concetto
 - Ricordiamo l'equazione di Dirac per gli spinori in forma Hamiltoniana

$$(\mathbf{\alpha} \cdot \mathbf{p} + \beta m)u = Eu$$

• Per una particella di massa nulla (es. il neutrino) l'equazione diventa

$$\mathbf{\alpha} \cdot \mathbf{p}u = pu \qquad \qquad \frac{\mathbf{\alpha} \cdot \mathbf{p}}{p}u = u$$

- Abbiamo scelto la soluzione con energia positiva e usato il fatto che se m=0 allora $E=|\mathbf{p}|=p$
- Utilizziamo adesso la rappresentazione di Dirac

$$\mathbf{\alpha} = \begin{pmatrix} \mathbf{0} & \mathbf{\sigma} \\ \mathbf{\sigma} & \mathbf{0} \end{pmatrix}$$
 $\gamma^5 = \begin{pmatrix} 0 & I \\ I & 0 \end{pmatrix}$ $\mathbf{\alpha} \gamma^5 = \gamma^5 \mathbf{\alpha} = \mathbf{\Sigma} = \begin{pmatrix} \mathbf{\sigma} & \mathbf{0} \\ \mathbf{0} & \mathbf{\sigma} \end{pmatrix}$

• Moltiplicando per γ^5 l'ultima forma dell'equazione di Dirac otteniamo

$$\gamma^5 \frac{\mathbf{\alpha} \cdot \mathbf{p}}{p} u = \gamma^5 u \qquad \left| \frac{\mathbf{\Sigma} \cdot \mathbf{p}}{p} u = \gamma^5 u \right|$$

Particelle di massa nulla

• Analogamente, ricordando che $(\gamma^5)^2=I$ otteniamo

$$\frac{\mathbf{\alpha} \cdot \mathbf{p}}{p} \gamma^5 \gamma^5 u = u \qquad \boxed{\frac{\mathbf{\Sigma} \cdot \mathbf{p}}{p} \gamma^5 u = u}$$

• Sommiamo l'ultima equazione all'ultima della diapositiva precedente $rac{oldsymbol{\Sigma}\cdot\mathbf{p}}{n}u=\gamma^5 u$

$$\frac{\mathbf{\Sigma} \cdot \mathbf{p}}{p} \left(1 + \gamma^5 \right) u = \left(1 + \gamma^5 \right) u$$

Da cui

$$\left| \frac{\mathbf{\Sigma} \cdot \mathbf{p}}{p} u_R \right| = u_R$$

Se invece sottraiamo

$$\frac{\mathbf{\Sigma} \cdot \mathbf{p}}{p} u - \frac{\mathbf{\Sigma} \cdot \mathbf{p}}{p} \gamma^5 u = \gamma^5 u - u \qquad \frac{\mathbf{\Sigma} \cdot \mathbf{p}}{p} (1 - \gamma^5) u = (\gamma^5 - 1) u$$
 Ji
$$\frac{\mathbf{\Sigma} \cdot \mathbf{p}}{p} u_L = -u_L$$

Da cui

$$\frac{\mathbf{\Sigma} \cdot \mathbf{p}}{p} u_L = -u_L$$

 Pertanto nel caso di massa nulla le proiezioni chirali di una soluzione dell'equazione di Dirac coincidono con gli autostati di elicità

$$u_R = u_+$$

$$u_L = u_-$$

Rappresentazione Chirale delle matrici γ

- La rappresentazione di Dirac delle matrici γ è utile stata per discutere il limite non relativistico dell'equazione di Dirac
- Se si vogliono mettere in evidenza altri aspetti sono più convenienti altre rappresentazioni
 - Ad esempio il limite di alta energia o, equivalentemente, il limite di massa nulla
 - Aspetti legati alla handedness o Chiralità
- In questi casi è conveniente la rappresentazione Chirale o di Weyl[†]

$$\alpha = \begin{pmatrix} \mathbf{\sigma} & \mathbf{0} \\ \mathbf{0} & -\mathbf{\sigma} \end{pmatrix} \qquad \beta = \gamma^0 = \begin{pmatrix} 0 & I \\ I & 0 \end{pmatrix} \qquad \boldsymbol{\gamma} = \gamma^0 \boldsymbol{\alpha} = \begin{pmatrix} 0 & -\mathbf{\sigma} \\ \mathbf{\sigma} & 0 \end{pmatrix}$$
$$\gamma^5 = \begin{pmatrix} I & 0 \\ 0 & -I \end{pmatrix} \qquad \boldsymbol{\alpha} \gamma^5 = \gamma^5 \boldsymbol{\alpha} = \boldsymbol{\Sigma} = \begin{pmatrix} \mathbf{\sigma} & \mathbf{0} \\ \mathbf{0} & \mathbf{\sigma} \end{pmatrix}$$

- ullet Nella rappresentazione di Weyl si separano le proiezioni chirali R e L degli spinori
- Nella rappresentazione di Dirac si separano le componenti Large e Small legate al limite non relativistico
- †Attenzione: la rappresentazione qui riportata è conforme a quella utilizzata nel libro di testo (Aitchison-Hey)
 Nel Peskin-Schoeder e nelle notes di Hitoshi Murayama viene utilizzata una convenzione differente

Rappresentazione Chirale

• Studiamo l'equazione di Dirac nella rappresentazione chirale

$$(\mathbf{\alpha} \cdot \mathbf{p} + \beta m)\psi = E\psi$$

• Utilizziamo la rappresentazione chirale e la rappresentazione a blocchi dello spinore

$$\psi = \begin{pmatrix} \chi \\ \phi \end{pmatrix}$$

· L'equazione diventa

$$\mathbf{\alpha} = \begin{pmatrix} \mathbf{\sigma} \cdot \mathbf{p} & \mathbf{0} \\ \mathbf{0} & -\mathbf{\sigma} \cdot \mathbf{p} \end{pmatrix} \begin{pmatrix} \chi \\ \phi \end{pmatrix} - E \begin{pmatrix} \chi \\ \phi \end{pmatrix} = -m \begin{pmatrix} 0 & I \\ I & 0 \end{pmatrix} \begin{pmatrix} \chi \\ \phi \end{pmatrix}$$

• L'equazione matriciale corrisponde alle due equazioni accoppiate

$$\mathbf{\sigma}\cdot\mathbf{p}\chi-E\chi=-m\phi$$
 nella rappresentazione di $\mathbf{\sigma}\cdot\mathbf{p}\phi-E\chi=-m\chi$ $\mathbf{\sigma}\cdot\mathbf{p}\phi+E\phi=+m\chi$ Dirac avevamo trovato $\mathbf{\sigma}\cdot\mathbf{p}\chi-E\phi=+m\phi$

- ullet Un aspetto interessante $\dot{f e}$ che nel limite di massa nulla m=0
 - Nella rappresentazione di Weyl le equazioni per χ e ϕ si disaccoppiano
 - Nella rappresentazione di Dirac le due equazioni rimangono accoppiate anche nel caso limite di massa nulla

Particelle di massa nulla

• Nel caso di massa nulla le equazioni diventano ($E = |\mathbf{p}| = p \quad \hat{\mathbf{p}} = \mathbf{p} / p$)

$$\mathbf{\sigma} \cdot \mathbf{p}\chi - E\chi = 0$$

$$\mathbf{\sigma} \cdot \mathbf{p}\phi + E\phi = 0$$



$$\mathbf{\sigma} \cdot \hat{\mathbf{p}} \chi = +\chi$$

$$\mathbf{\sigma} \cdot \hat{\mathbf{p}}\phi = -\phi$$

- Vediamo pertanto che i due spinori bidimensionali χ e ϕ sono autostati dell'elicità
- Inoltre nella rappresentazione chirale i due operatori di proiezione diventano

$$\frac{1}{2}(1-\gamma^5) = \frac{1}{2}\begin{bmatrix} I & 0 \\ 0 & I \end{bmatrix} - \begin{bmatrix} I & 0 \\ 0 & -I \end{bmatrix} = \begin{bmatrix} 0 & 0 \\ 0 & I \end{bmatrix} \qquad \frac{1}{2}(1+\gamma^5) = \begin{bmatrix} I & 0 \\ 0 & 0 \end{bmatrix}$$

$$\frac{1}{2}(1+\gamma^5) = \begin{pmatrix} I & 0\\ 0 & 0 \end{pmatrix}$$

Applicando i due operatori allo spinore generico

$$\psi = \begin{pmatrix} \chi \\ \phi \end{pmatrix}$$

$$\psi = \begin{pmatrix} \chi \\ \phi \end{pmatrix} \qquad \left| \psi_R = \frac{1}{2} (1 + \gamma^5) \psi = \begin{pmatrix} \chi \\ 0 \end{pmatrix} \right| \qquad \left| \psi_L = \frac{1}{2} (1 - \gamma^5) \psi = \begin{pmatrix} 0 \\ \phi \end{pmatrix} \right|$$

$$\psi_L = \frac{1}{2} (1 - \gamma^5) \psi = \begin{pmatrix} 0 \\ \phi \end{pmatrix}$$

• Notiamo infine che i due spinori ψ_L e ψ_R sono anche autovettori dell'operatore γ^5 (operatore chiralità) con autovalori +1 e -1

$$\boxed{\gamma^5 \psi_R = +\psi_R} \qquad \boxed{\gamma^5 \psi_L = -\psi_L}$$

$$\gamma^5 \psi_L = -\psi_L$$

- Abbiamo già notato che per m=0 chiralità ed elicità coincidono
- Per una massa non nulla sono due proprietà differenti
 - Elicità o polarizzazione completa $extcolor{Chiralità}$ o polarizzazione parziale $\wp=eta$

- La separazione delle due componenti è specifica delle rappresentazioni chirali
- Tuttavia molte delle altre proprietà viste sono indipendenti dalla massa e dalla rappresentazione
 - Si possono definire due proiettori

$$\hat{P}_{R} = \frac{1}{2}(1+\gamma^{5})$$
 $\hat{P}_{L} = \frac{1}{2}(1-\gamma^{5})$ $\hat{P}_{R}\hat{P}_{L} = 0$ $\hat{P}_{R} + \hat{P}_{L} = \hat{I}$

• Si può sempre scomporre uno spinore in due componenti chirali $\psi = \psi_L + \psi_R$

$$\psi_R = \frac{1}{2} (1 + \gamma^5) \psi = \widehat{P}_R \psi$$
 $\psi_L = \frac{1}{2} (1 - \gamma^5) \psi = \widehat{P}_L \psi$

ullet Le due componenti chirali di ψ sono autovettori d $ar{f i}$ γ^5

$$\gamma^5 \psi_R = \frac{1}{2} \gamma^5 (1 + \gamma^5) \psi = \frac{1}{2} (\gamma^5 + 1) \psi = +\psi_R$$

$$\gamma^5 \psi_L = \frac{1}{2} \gamma^5 (1 - \gamma^5) \psi = \frac{1}{2} (\gamma^5 - 1) \psi = -\psi_L$$

- In generale le due componenti non sono soluzioni dell'equazione di Dirac
 - Osserviamo che, dato che $\{\gamma^5,\gamma^\mu\}=0,\quad P_R\gamma^\mu=\gamma^\mu P_L\quad$ e $\qquad P_L\gamma^\mu=\gamma^\mu P_R$
- Pertanto se $(p m)\psi = 0 \Longrightarrow (p m)\psi_R = (p m)\widehat{P}_R\psi = (\widehat{P}_L p \widehat{P}_R m)\psi \neq 0$
 - · Analogamente per l'altra componente
- Tuttavia se m=0 le due componenti sono soluzioni dell'equazione di Dirac

$$p\psi=0$$
 \Rightarrow $p\psi_R=p\hat{P}_R\psi=\hat{P}_Lp\psi=0$

Proiezioni chirali e antiparticelle

- ullet Discutiamo adesso le proiezioni chirali degli spinori v associati alle soluzioni con energia negativa
 - Abbiamo già notato che l'associazione dell'elicità fisica +1 agli autovalori dell'operatore $\Sigma \cdot \mathbf{p}$ è opposta a quella degli spinori u
 - Va comunque ricordato che la polarizzazione calcolata con l'elemento di matrice ha sempre il segno corretto, sia che si producano particelle (ad esempio e^-) o antiparticelle (ad esempio e^+)
 - I proiettori di spin covarianti sono stati costruiti in modo da tenere conto dell'inversione di segno
 - Analogamente a quanto succede per l'elicità risulta anche invertito il segno della polarizzazione associata alle proiezioni chirali L e R
- · Questo aspetto è evidente nel caso di particelle di massa nulla
 - · Consideriamo ancora l'equazione di Dirac nella rappresentazione chirale

$$egin{array}{lll} oldsymbol{\sigma}\cdot\mathbf{p}\chi-p_0\chi=0 & \text{nel caso di soluzione con} & oldsymbol{\sigma}\cdot\mathbf{p}\chi+E\chi=0 \ oldsymbol{\sigma}\cdot\mathbf{p}\phi+p_0\phi=0 & energia negativa \ p_0=-E & oldsymbol{\sigma}\cdot\mathbf{p}\phi-E\phi=0 \end{array}$$

• Pertanto, per le soluzioni di energia negativa, le relazioni diventano

$$\begin{array}{ll} \sigma\cdot\hat{\mathbf{p}}\chi=+\chi\\ \sigma\cdot\hat{\mathbf{p}}\phi=-\phi \end{array} \quad \text{diventano} \quad \begin{array}{ll} \sigma\cdot\hat{\mathbf{p}}\chi=-\chi\\ \sigma\cdot\hat{\mathbf{p}}\phi=+\phi \end{array} \quad \begin{array}{ll} \text{Per le antiparticelle l'elicità delle}\\ \text{proiezioni (spinori }\chi\in\phi) \ \hat{\mathbf{e}} \ \text{scambiata} \end{array}$$

Proiezioni chirali e antiparticelle

- ullet La conseguenza fisica di quanto detto \dot{ullet} che nel decadimento eta
 - La particelle sono emesse con polarizzazione $-eta_e$
 - Le antiparticelle sono emesse con polarizzazione $+eta_{
 u}$
- Per finire osserviamo che nel decadimento β l'elicità dell'antineutrino è sempre right-handed (vedi diapositiva $\boxed{416}$ e seguente)
 - Ricordiamo l'elemento di matrice

$$\langle e^{-}\overline{\nu}_{e} | l^{\mu}(0) | 0 \rangle = \overline{u}_{p_{e}} \gamma^{\mu} (1 - \gamma^{5}) v_{p_{\nu}}$$

ullet Lo spinore v si può scomporre

$$v = v_L + v_R = \frac{1}{2}(1 - \gamma^5)v + \frac{1}{2}(1 + \gamma^5)v$$

• Calcoliamo l'effetto dell'operatore $1-\gamma^5$ presente nell'elemento di matrice

$$egin{aligned} ig(1-\gamma^5ig)v &= ig(1-\gamma^5ig)ig[rac{1}{2}ig(1+\gamma^5ig)+rac{1}{2}ig(1-\gamma^5ig)ig]v & & ext{Sopravive solo } v_L \ &= rac{1}{2}ig(1-\gamma^5ig)ig(1-\gamma^5ig)v + rac{1}{2}ig(1-\gamma^5ig)v + rac{1}{2}ig(1-\gamma^5ig)v = ig(1-\gamma^5ig)v_L \end{aligned}$$

- Pertanto nel decadimento eta
 - ullet L'elicità dell'antineutrino è sempre RH
 - ullet L'elicità del neutrino è sempre LH

- ullet Chiralità L
- Elicità RH(+)

Violazione della parità e momento angolare

- Abbiamo visto che la presenza dell'operatore $1-\gamma^5$ determina una polarizzazione nei leptoni prodotti nel decadimento β
 - Fermioni left-handed
 - Antifermioni right-handed
- Questa circostanza ci permette di dare un'interpretazione interessante dei risultati sulle correlazioni angolari nel decadimento β

$$n \rightarrow p + e^- + \overline{\nu}$$

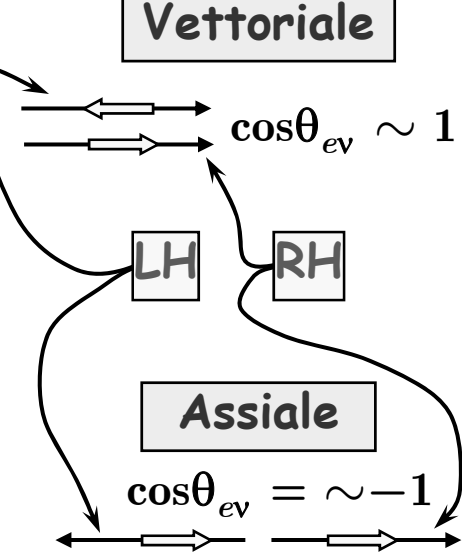
• La correlazione angolare è una conseguenza della conservazione del momento

angolare e del fatto che i due leptoni sono polarizzati

• Abbiamo infatti visto che le transizioni di Fermi non cambiano il momento angolare del nucleo

• I leptoni pertanto sono in uno stato di singoletto e il momento angolare emesso è $\mathrm{S}=\mathbf{0}$

- Per le transizioni di Gamov-Teller invece il momento angolare nucleare varia di una unità
 - I leptoni sono adesso in uno stato di tripletto e il momento angolare emesso è ${\rm S}=1$



Le Correnti chirali Left-Handed

• Ci sono altre osservazioni che si possono fare sulla corrente

$$J^{\mu} = \overline{\psi}_a \gamma^{\mu} \left(1 - \gamma^5 \right) \psi_b$$

· Osserviamo che

$$\frac{1}{2}(1-\gamma^5)\frac{1}{2}(1-\gamma^5) = \frac{1}{4}(1-2\gamma^5+(\gamma^5)^2) = \frac{1}{4}(2-2\gamma^5) = \frac{1}{2}(1-\gamma^5)$$
$$\frac{1}{2}(1-\gamma^5)\frac{1}{2}(1-\gamma^5) = \frac{1}{2}(1-\gamma^5)$$

• Possiamo pertanto scrivere

$$\begin{split} \overline{\psi}_{a}\gamma^{\mu} \left(1-\gamma^{5}\right) \psi_{b} &= 2 \overline{\psi}_{a} \gamma^{\mu} \frac{1}{2} \left(1-\gamma^{5}\right) \psi_{b} \\ &= 2 \overline{\psi}_{a} \gamma^{\mu} \frac{1}{2} \left(1-\gamma^{5}\right) \frac{1}{2} \left(1-\gamma^{5}\right) \psi_{b} \\ &= 2 \overline{\psi}_{a} \frac{1}{2} \left(1+\gamma^{5}\right) \gamma^{\mu} \frac{1}{2} \left(1-\gamma^{5}\right) \psi_{b} \\ &= 2 \psi_{a}^{\dagger} \gamma^{0} \frac{1}{2} \left(1+\gamma^{5}\right) \gamma^{\mu} \frac{1}{2} \left(1-\gamma^{5}\right) \psi_{b} \\ &= 2 \psi_{a}^{\dagger} \frac{1}{2} \left(1-\gamma^{5}\right) \gamma^{0} \gamma^{\mu} \frac{1}{2} \left(1-\gamma^{5}\right) \psi_{b} \\ &= 2 \left[\frac{1}{2} \left(1-\gamma^{5}\right) \psi_{a}\right]^{\dagger} \gamma^{0} \gamma^{\mu} \frac{1}{2} \left(1-\gamma^{5}\right) \psi_{b} \end{split}$$

Le Correnti chirali Left-Handed

$$J^{\mu} = 2 \left[rac{1}{2} \left(1 - \gamma^5 \right) \psi_a \right]^{\dagger} \gamma^0 \gamma^{\mu} rac{1}{2} \left(1 - \gamma^5 \right) \psi_b$$

• Introduciamo le proiezioni chirali Left degli operatori di campo

$$\psi_L = \frac{1}{2} \left(1 - \gamma^5 \right) \psi$$

• Inserendo nella corrente abbiamo

$$J^{\mu} = 2 \left[\psi_{aL} \right]^{\dagger} \gamma^{0} \gamma^{\mu} \psi_{bL} = 2 \overline{\psi}_{aL} \gamma^{\mu} \psi_{bL}$$

$$J^{\mu} = 2\overline{\psi}_{aL}\gamma^{\mu}\psi_{bL}$$

- Pertanto un altro modo di sintetizzare i risultati sperimentali sui decadimenti deboli è
 - Solo le proiezioni chirali Left dei fermioni partecipano ai decadimenti deboli

chiralità non elicità

- ullet Attenzione, solo per le correnti cariche mediate dai bosoni W^\pm
- Nel modello standard questa affermazione si traduce nel limitare il gruppo di simmetria $\mathrm{SU}(2)$ dell'isospin debole alle componenti LH dei campi $SU(2)_L$

Le Correnti chirali Left-Handed

- Per finire una interessante osservazione dovuta a Feynman e Gell-Man
 - Se solo le proiezioni chirali LH dei campi partecipano all'interazione debole allora i tipi possibili di interazione sono solamente V e A
- Infatti nella corrente i vari tipi operatore compaiono nella forma

$$\frac{1}{2}(1+\gamma^5)\Gamma_X\frac{1}{2}(1-\gamma^5)$$
 NB: $\bar{\psi}_L=\bar{\psi}\,\frac{1}{2}(1+\gamma^5)$

- Questa espressione si annulla per X=S,T (scalare e tensore)
 - X = S: $\Gamma_X = I$

$$\frac{1}{2} \left(1 + \gamma^5 \right) \frac{1}{2} \left(1 - \gamma^5 \right) = \frac{1}{4} \left(1 - \left(\gamma^5 \right)^2 \right) = \frac{1}{4} (1 - 1) = 0$$

• X=T: $\Gamma_T=\gamma^\mu\gamma^
u$

$$\frac{1}{2}(1+\gamma^5)\gamma^{\mu}\gamma^{\nu}\frac{1}{2}(1-\gamma^5) = \frac{1}{4}(1+\gamma^5)(1-\gamma^5)\gamma^{\mu}\gamma^{\nu} = 0$$

• Viceversa, per $X=\,V$ e $X=\,A$ gli operatori non si annullano

$$\frac{1}{2}(1+\gamma^5)\gamma^{\mu}\frac{1}{2}(1-\gamma^5) = \gamma^{\mu}\frac{1}{2}(1-\gamma^5)\frac{1}{2}(1-\gamma^5) = \gamma^{\mu}\frac{1}{2}(1-\gamma^5) \neq 0$$

$$\frac{1}{2} (1 + \gamma^5) \gamma^5 \gamma^{\mu} \frac{1}{2} (1 - \gamma^5) = \frac{1}{2} \gamma^5 (1 + \gamma^5) \gamma^{\mu} \frac{1}{2} (1 - \gamma^5) = \frac{1}{4} (1 + \gamma^5)^2 \gamma^{\mu} \neq 0$$

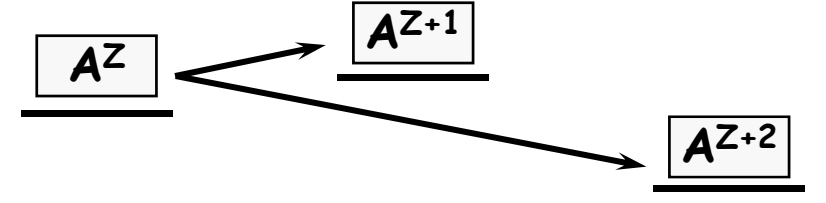
Il neutrino

- ullet Abbiamo visto che la forma $V\!-\!A$ della interazione implica
 - Che i fermioni siano sempre left-handed
 - Che gli antifermioni siano sempre right-handed
- Dal momento che la massa del neutrino è nulla, una volta prodotto con una data polarizzazione questa sarà mantenuta per sempre
 - ullet La velocità del neutrino è c l'elicità è la stessa in ogni sistema di riferimento
- Inoltre il neutrino interagisce solo per interazione debole e quindi solo se è left-handed
 - É legittimo quindi chiedersi se il neutrino right-handed esista o meno
 - · Stesso discorso per l'antineutrino left-handed
- L'equazione di Dirac descrive i fermioni con una funzione a 4 componenti
 - 2 componenti per i due stati di polarizzazione della particella
 - 2 componenti per i due stati di polarizzazione dell'antiparticella
 - Dal momento che il neutrino e l'antineutrino necessitano di un solo stato di polarizzazione, lo spinore di Dirac per il neutrino è ridondante
 - Date le due proiezioni chirali u_L e u_R è possibile che u_R sia l'antineutrino ?
 - In questo caso particella e antiparticella coinciderebbero



Il neutrino

- Se il neutrino e l'antineutrino fossero la stessa particella allora dovrebbe esistere la reazione $\boxed{Cl^{37}+\overline{\nu}\to A^{37}+e^-}$
 - Questa transizione è stata cercata utilizzando gli antineutrini prodotti da un reattore
 - La ricerca condotta da Davis ha portato a risultati negativi
- Altre possibilità di verifica sono offerte dal cosiddetto decadimento doppio eta
 - Se esistono 3 stati nucleari isobarici nelle relazioni di massa indicate



· Allora non è permesso energeticamente il decadimento

$$A^Z \not\rightarrow A^{Z+1} + e^- + \overline{\nu}$$

 Avviene invece la transizione del secondo ordine (molto rara) in cui due neutroni decadono

$$A^Z \to A^{Z+2} + e^- + \overline{\nu} + e^- + \overline{\nu}$$

Il neutrino

- Se però non esistesse distinzione fra il neutrino e l'antineutrino
 - Allora sarebbe possibile la reazione

$$A^Z \to A^{Z+1} + e^- + \nu$$
 $A^{Z+1} + \nu \to A^{Z+2} + e^-$

- Lo stato intermedio è virtuale.
- La reazione completa sarebbe

$$A^Z \to A^{Z+2} + e^- + e^-$$

- Il decadimento con due neutrini è stato osservato
- Il decadimento senza neutrini non è mai stato osservato
 - Il neutrino e l'antineutrino sono pertanto distinti
- Se il decadimento doppio eta venisse osservato occorrerebbe descrivere il neutrino con uno spinore di Maiorana
 - Un formalismo che non distingue fra particelle e antiparticelle
 - Si ottiene con opportune combinazioni di operatori di creazione e distruzione di particelle e antiparticelle

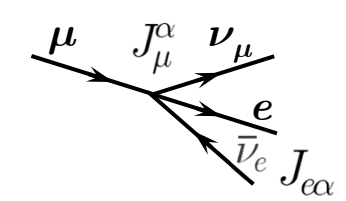
Universalità

- Nel 1935 Yukawa predisse l'esistenza di una particella con massa dell'ordine di $100~{
 m MeV}$ che doveva essere il quanto dell'interazione forte
 - Una particella di massa simile fu scoperta nel 1938 da Neddermeyer e Anderson nello studio dei raggi cosmici
- Nel 1945 Conversi, Pancini e Piccioni giunsero alla conclusione che la particella non poteva essere il quanto della interazione forte
 - Nel 1947 Muirhead, Lattes e Occhialini scoprirono il la catena di decadimento $\boxed{\pi \to \mu \to e}$
- Nel 1949 Steinberger scoprì che il muone decade in 3 particelle leggere
 - · Oggi sappiamo che

$$\mu^- \to e^- + \nu_\mu + \overline{\nu}_e$$

- Da questo momento in poi nasce l'idea che l'interazione di Fermi possa spiegare molti decadimenti
 - In particolare, il decadimento del muone può essere spiegato con il diagramma
 - Vale a dire in modo analogo al decadimento β tramite l'interazione delle correnti dell'elettrone e del muone

Universalità



Universalità

 Occorre pertanto introdurre una corrente per il muone analoga a quella dell'elettrone

$$\hat{J}^{\alpha}\left(e\right) = \overline{\psi}_{e}\gamma^{\alpha}\left(1 - \gamma^{5}\right)\psi_{\nu_{e}} \qquad \qquad \hat{J}^{\alpha}\left(\mu\right) = \overline{\psi}_{\mu}\gamma^{\alpha}\left(1 - \gamma^{5}\right)\psi_{\nu_{\mu}}$$

• La corrente leptonica totale è

$$\widehat{L}^{\alpha} = \widehat{J}^{\alpha}(e) + \widehat{J}^{\alpha}(\mu)$$

- Analogamente a quanto già visto la corrente $J^lpha(\mu)$
 - Crea un muone μ^- o distrugge un antimuone μ^+ con il campo $\overline{\psi}_\mu$
 - Distrugge un neutrino u_{μ} o crea un antineutrino $\overline{
 u}_{\mu}$ con il campo $\psi_{
 u_{\mu}}$
- Per descrivere la reazione $\mu^-
 ightarrow e^- +
 u_\mu + \overline{
 u}_e$ dobbiamo
 - Distruggere un muone e creare un neutrino
 - Abbiamo bisogno della corrente $(J^lpha(\mu))^\dagger$
- Possiamo pertanto scrivere l'Hamiltoniana di interazione come

$$\mathcal{H}' = rac{G_{\mu}}{\sqrt{2}} L_{lpha}^{\dagger} L^{lpha}$$

• Gli operatori necessari per l'elemento di matrice vengono automaticamente selezionati dagli stati iniziale e finale (a meno di costanti di normalizzazione e spinori)

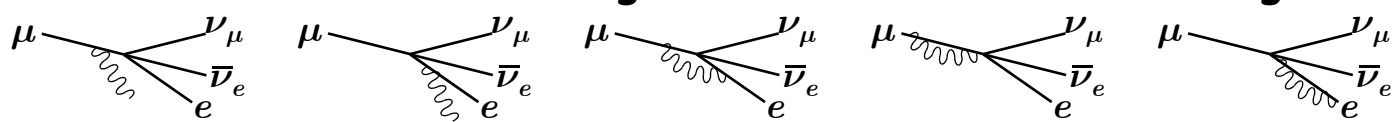
$$|i\rangle = |\mu^{-}\rangle = a_{\mu}^{\dagger} |0\rangle \qquad |f\rangle = |e^{-}\nu_{\mu}\overline{\nu}_{e}\rangle = a_{e}^{\dagger}a_{\nu_{\mu}}^{\dagger}b_{\nu_{\varepsilon}}^{\dagger} |0\rangle$$

Il decadimento del leptone μ

- Il decadimento del muone è descritto dal diagramma
 - La vita media può essere calcolata con le stesse tecniche utilizzate per il calcolo della vita media del neutrone (si può assumere $m_e=0)$

$$\Gamma = \frac{1}{\tau_{\mu}} = \frac{G_{\mu}^2 m_{\mu}^5}{192\pi^3}$$

- ullet La misura della vita media del leptone μ è molto precisa e permette pertanto una determinazione molto accurata della costante di accoppiamento
 - Per distinguerla da quella ricavata dal decadimento eta la chiamiamo G_{μ}
- Per poter trarre beneficio della precisione della misura sperimentale occorre tenere conto delle correzioni radiative elettromagnetiche
 - Le correzioni radiative elettromagnetiche sono descritte dai diagrammi



• Tenendo conto di correzioni $O(\alpha^2)$ e con $m_e
eq 0$ si ottiene †

$$\frac{1}{\tau_{\mu}} = \frac{G_{\mu}^{2} m_{\mu}^{5}}{192\pi^{3}} f\left(\frac{m_{e}^{2}}{m_{\mu}^{2}}\right) \left[1 + \frac{\alpha\left(m_{\mu}^{2}\right)}{2\pi} \left(\frac{25}{4} - \pi^{2}\right)\right] G_{\mu} = 1.16637 \pm 0.00001 \times 10^{-5} \,\text{GeV}^{-2} G_{\mu}^{-2}$$

$$G_{\mu} = 1.13578 \pm 0.00007 \times 10^{-5} \,\text{GeV}^{-2} G_{\mu}^{-2} G_{\mu}^{-2}$$

$$G_{\mu} = 1.16637 \pm 0.00001 \times 10^{-3} \,\mathrm{GeV}^{-2}$$

 $G_{\alpha} = 1.13578 \pm 0.00027 \times 10^{-5} \,\mathrm{GeV}^{-2}$

- La quasi identità fra G_μ e G_eta è una forte indicazione che la stessa interazione descrive i decadimenti del neutrone n e del muone μ
- † Erler, Langacker PDG 2006 J. Phys. G 33 pag. 120

Universalità

- Altri processi che possono essere spiegati con estensioni dell'Hamiltoniana del decadimento β che abbiamo studiato
 - Decadimenti e urti completamente leptonici

$$\mu^- \to e^- + \nu_\mu + \overline{\nu}_e$$
 $\tau^- \to e^- + \nu_\tau + \overline{\nu}_e$ $\nu_e + e^- \to \nu_e + e^ \tau^- \to \mu^- + \nu_\tau + \overline{\nu}_\mu$

• Decadimenti e urti semi-leptonici senza variazione di Stranezza

$$\begin{array}{lll} n \rightarrow p + e^- + \overline{\nu}_e & \pi^- \rightarrow \pi^0 + e^- + \overline{\nu}_e & \pi^- \rightarrow \mu^- + \overline{\nu}_\mu \\ \\ \Sigma^\pm \rightarrow \Lambda + l^\pm + \nu_l & \nu_\mu + N \rightarrow \mu^- + X & \tau^- \rightarrow \pi^- + \nu_\tau \end{array}$$

Decadimenti semi-leptonici con variazione di Stranezza

$$K^- \to \mu^- + \overline{\nu}_{\mu}$$
 $K^- \to \pi^0 + e^- + \overline{\nu}_e$ $\Lambda^0 \to p + e^- + \overline{\nu}_e$

• Decadimenti totalmente adronici con variazione di Stranezza

$$\Lambda \to p + \pi^ \Sigma^+ \to p + \pi^0$$
 $K^0 \to \pi^+ + \pi^-$

 Tutti questi decadimenti sono stati studiati con successo e hanno confermato la validità della interazione fra le due correnti

La corrente adronica

• Nello studio del decadimento beta abbiamo utilizzato l'operatore corrente adronica

 $\hat{J}^{\mu}\left(h\right) = \overline{\hat{\psi}}_{n} \gamma^{\mu} \left(1 - \kappa \gamma^{5}\right) \hat{\psi}_{p}$

- Ne abbiamo calcolato l'elemento di matrice fra due stati (il neutrone iniziale e il protone finale)
- Abbiamo inoltre notato che il fattore κ diverso da 1 è dovuto al fatto che gli adroni non sono puntiformi
 - · Pertanto occorre tenere conto dell'interazione forte
- Nello studio delle correnti degli adroni risulta conveniente utilizzare una corrente $\hat{\mathfrak{I}}^{\mu}$ generica (non definita esplicitamente)
 - È un operatore vettoriale (nel senso di Lorentz)
 - Dagli esperimenti abbiamo visto che deve avere una parte vettoriale e una assiale

$$\hat{\mathfrak{I}}^{\mu} = \hat{V}^{\mu} + \hat{A}^{\mu}$$

· Gli esperimenti ci dicono quali regole di selezione deve riprodurre

La corrente adronica

- Per il calcolo delle quantità osservabili occorre calcolare l'elemento di matrice dell'operatore fra stati di particelle
 - Ad esempio, nel caso del decadimento eta del neutrone si ha

$$\left\langle \left. p,k_{p},s_{p} \right. \mid \hat{\mathfrak{I}}^{\mu} \mid n,k_{n},s_{n} \right\rangle \! = \! F^{\mu}\left(k_{p},s_{p},k_{n},s_{n}\right)$$

- Le funzioni F^{μ} sono un insieme di c-numbers (non sono operatori)
- A seconda del tipo di accoppiamento ipotizzato le funzioni F^μ hanno uno (o più, o zero) indici di Lorentz
 - In dipendenza dalla natura degli stati (iniziale e finale) le funzioni F^μ hanno come argomenti 4-momenti e variabili di spin
- Complessivamente hanno ben precise proprietà di trasformazione per trasformazioni di Lorentz
- Utilizzando le proprietà di invarianza (di Lorentz) e le regole di selezione si può scrivere la forma più generale dell'elemento di matrice e confrontarlo con i dati sperimentali per determinare le parti incognite (ad esempio l'origine del fattore $\kappa \approx 1.26$)

Il decadimento $\pi^- ightarrow \it{l}^- u_{\it{l}}$

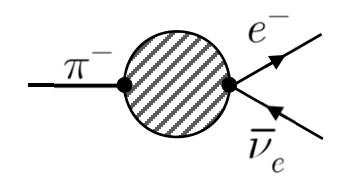
- ullet Il mesone π predetto da Yukawa e scoperto da Neddermeyer e Anderson \dot{ullet} l'adrone più leggero
 - Non può decadere tramite interazione forte
 - Decade tramite interazione debole

$$\pi^- \to \mu^- + \overline{\nu}_\mu$$

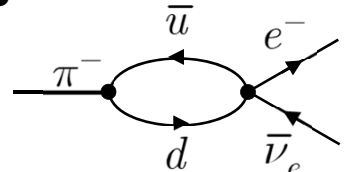
$$\pi^- \to e^- + \overline{\nu}_e$$

$$\pi^- \rightarrow \mu^- + \overline{\nu}_\mu \qquad \qquad \pi^- \rightarrow e^- + \overline{\nu}_e \qquad \qquad \pi^- \rightarrow \pi^0 + e^- + \overline{\nu}_e$$

• Il decadimento è rappresentato schematicamente dal diagramma



Nell'ambito del modello a quark il pione è uno stato legato



- Nel diagramma con i quark
 - Non è nota la struttura dello stato legato
 - I quark interagiscono tramite gluoni (QCD): non trattabile perturbativamente
- Si ipotizza una interazione corrente-corrente fra la corrente leptonica e la generica corrente adronica \mathfrak{I}^{μ}

$${\cal H}' = rac{G}{\sqrt{2}} (\, \mathfrak{I}^{\mu}\,)^{\dagger}\, L_{\mu}$$

• Lo stato iniziale e lo stato finale sono $|i\rangle = |\pi^-\rangle$ $|f\rangle = |l^-\overline{\nu}_l\rangle$

$$|i\rangle = |\pi^-\rangle \qquad |f\rangle$$

Il decadimento $\pi^- ightarrow \it{l}^- \, \overline{ u}_{\it{l}}$

- L'elemento di matrice è $\langle f \mid \mathcal{H}' \mid i \rangle = \langle l^- \overline{\nu}_l \mid \mathcal{H}' \mid \pi^- \rangle$
 - Per gli adroni si passa da uno stato con un pione allo stato vuoto
 - Nel caso del decadimento β si passa dal neutrone al protone
 - Per i leptoni, come nel caso del decadimento β si passa da uno stato vuoto allo stato con due leptoni
- Si può procedere come nel caso del decadimento β per giungere alla seguente espressione per l'ampiezza

$$\mathfrak{M} = \frac{G_{\beta}}{\sqrt{2}} \langle 0 \mid \mathfrak{I}^{\mu}(0) \mid \pi^{-} \rangle \langle l^{-} \overline{\nu}_{l} \mid L_{\mu}(0) \mid 0 \rangle$$

ullet La parte leptonica è identica a quanto visto per il decadimento eta

$$\langle l^{-}\overline{\nu}_{l} \mid L^{\mu}(0) \mid 0 \rangle = \overline{u}_{l}(k_{l}) \gamma_{\mu} (1 - \gamma^{5}) v_{\nu}(k_{\nu})$$

- Consideriamo la parte adronica
 - Deve essere proporzionale a p^{μ} , il 4-momento del pione $\left\langle 0\mid\mathfrak{I}^{\mu}\left(0
 ight)\mid\pi^{-}\right
 angle =fp^{\mu}$
 - · La costante di proporzionalità deve essere una funzione invariante
 - Può dipendere solo da quantità invarianti: $p^2=m^2$
 - Pertanto $f(p^2)=f_\pi$ è una costante $\left|\left\langle 0\mid\mathfrak{I}^\mu\left(0
 ight)\mid\pi^ight.
 ight
 angle =f_\pi p^\mu$

$$\left\langle 0\mid\mathfrak{I}^{\mu}\left(0\right)\mid\pi^{-}\right\rangle =f_{\pi}p^{\mu}$$

Il decadimento $\pi^- ightarrow \it{l}^- \ \overline{ u}_{\it{l}}$

$$\left| \left\langle 0 \mid \mathfrak{I}^{\mu} \left(0 \right) \mid \pi^{-} \right\rangle = f_{\pi} p^{\mu} \right|$$

- Per la conservazione del 4-momento totale abbiamo $p^\mu = k^\mu_l + k^\mu_
 u$
- La quantità f_π è una costante che dipende dalla natura del mesone che decade e ha le dimensioni di una energia
- · L'elemento di matrice diventa pertanto

$$\boxed{\mathfrak{M} = \frac{G_{\beta}}{\sqrt{2}} f_{\pi} \overline{u}_{l} \left(k_{l} \right) p^{\mu} \gamma_{\mu} \left(1 - \gamma^{5} \right) v_{\nu} \left(k_{\nu} \right)} \qquad p^{\mu} \gamma_{\mu} = \not p = \not k_{l} + \not k_{\nu}$$

· Si può ulteriormente semplificare ricordando che

$$\underbrace{(\cancel{k} - m)u = 0} \qquad \underbrace{(\cancel{k} + m)v = 0}$$

$$\overline{v}(\cancel{k} + m) = 0$$

Pertanto

$$\mathfrak{M} = \frac{G_{\beta}}{\sqrt{2}} f_{\pi} \underline{\overline{u}_{l}\left(k_{l}\right)\left(k_{l}\right)} + \underbrace{k_{\nu}\left(1 - \gamma^{5}\right)v_{\nu}\left(k_{\nu}\right)}_{k_{\nu}v_{\nu} = \mathbf{0}} = \frac{G_{\beta}}{\sqrt{2}} f_{\pi} m_{l} \overline{u}_{l}\left(k_{l}\right)\left(1 - \gamma^{5}\right)v_{\nu}\left(k_{\nu}\right)$$

Il decadimento $\pi^- ightarrow \it{l}^- \, \overline{ u}_{\it{l}}$

$$\mathfrak{M}=rac{G_{eta}}{\sqrt{2}}f_{\pi}m_{l}\overline{u}_{l}\left(k_{l}
ight)\!\left(1-\gamma^{5}
ight)\!v_{
u}\left(k_{
u}
ight)$$

• Il modulo quadrato sommato sugli stati di polarizzazione finale si ottiene con le usuali tracce

$$\overline{\left|\overline{\mathfrak{M}}\right|^{2}} = \frac{G_{\beta}^{2}}{2} f_{\pi}^{2} m_{l}^{2} Tr\left[\left(\cancel{k}_{l} + m_{l}\right) \left(1 - \gamma^{5}\right) \cancel{k}_{\nu} \left(1 + \gamma^{5}\right)\right]$$

La traccia si calcola facilmente

$$Tr[(k_l + m_l)(1 - \gamma^5)k_{\nu}(1 + \gamma^5)] = Tr[(k_l + m_l)(1 - \gamma^5)^2 k_{\nu}]$$

$$= 2Tr[(k_l + m_l)(1 - \gamma^5)k_{\nu}] = 2Tr[k_l k_{\nu}] = 8k_l \cdot k_{\nu}$$

Si ha inoltre

$$m_\pi^2 = p^2 = \left(k_l + k_
u
ight)^2 = k_l^2 + 2k_l \cdot k_
u +$$
 $k_l \cdot k_
u = rac{m_\pi^2 - m_l^2}{2}$

In conclusione

$$\overline{|\mathfrak{M}|^2} = 2 G_{eta}^2 f_{\pi}^2 m_l^2 \left(m_{\pi}^2 - m_l^2 \right)$$

Il decadimento $\pi^- ightarrow l^- \, \overline{ u}_{\scriptscriptstyle I}$

$$\overline{|\mathfrak{M}|^2} = 2G_eta^2 f_\pi^2 m_l^2 \left(m_\pi^2 - m_l^2
ight)$$

- Notiamo che l'elemento di matrice è costante, come ci si poteva attendere
- La larghezza di decadimento è

$$\Gamma = \int \frac{\overline{|\mathfrak{M}|^2}}{2m_{\pi}} d\Phi_2 = \frac{\overline{|\mathfrak{M}|^2}}{2m_{\pi}} \int d\Phi_2$$

 Ricordiamo lo spazio delle fasi per uno stato finale di due particelle nel c.m. del π (vedi diapositiva 270)

$$d\Phi_2 = \frac{1}{(4\pi)^2} \delta \left(W_i - W_f \right) \frac{\left| \mathbf{p}_f \right|}{W_f} dW_f d\Omega \qquad \left| \mathbf{p}_f \right| = \frac{m_\pi^2 - m_l^2}{2m_\pi} \qquad W_f = m_\pi$$

L'integrale è banale

$$\int d\Phi_2 = \frac{1}{(4\pi)^2} \int \delta(W_i - W_f) \frac{|\mathbf{p}_f|}{W_f} dW_f d\Omega = \frac{1}{(4\pi)^2} \int \frac{m_\pi^2 - m_l^2}{2m_\pi} \frac{1}{m_\pi} d\Omega$$

$$\int d\Phi_2 = \frac{1}{4\pi} \frac{m_\pi^2 - m_l^2}{2m_\pi^2}$$
 • Più grande per $l = e$ • Più piccolo per $l = \mu$

Il decadimento $\pi^- ightarrow \it{l}^- \, \overline{ u}_{\it{l}}$

• In definitiva otteniamo per la larghezza di decadimento

$$\Gamma = \frac{1}{\tau} = \frac{\overline{|\mathfrak{M}|^2}}{2m_\pi} \int d\Phi_2 \qquad \qquad \Gamma = \frac{1}{2m_\pi} 2G_\beta^2 f_\pi^2 m_l^2 \left(m_\pi^2 - m_l^2 \right) \frac{1}{4\pi} \frac{m_\pi^2 - m_l^2}{2m_\pi^2}$$

$$\Gamma = \frac{G_\beta^2}{8\pi} f_\pi^2 m_l^2 m_\pi \left(1 - \frac{m_l^2}{m_\pi^2} \right)^2$$

ullet Il pione decade circa nel 100% dei casi in muone ed ha una vita media

$$\tau = 2.6033 \pm 0.0005 \times 10^{-8} \,\mathrm{s}$$

ullet Da questo valore si può ricavare il parametro fenomenologico † f_π

$$f_{\pi} = 130.7 \pm 0.1 \mathrm{MeV}$$

†M. Suzuki, PDG 2006, J. Phys. G 33 pag. 535

Il decadimento $\pi^- ightarrow \it{l}^- \ \overline{ u}_{\it{l}}$

$$\Gamma = rac{G_{eta}^2}{8\pi} f_{\pi}^2 m_l^2 m_{\pi} \left(1 - rac{m_l^2}{m_{\pi}^2}
ight)^2$$

- Il decadimento in elettrone è molto raro
 - · La misura della frazione di decadimento dà

$$\frac{\Gamma(\pi \to e\nu)}{\Gamma(\pi \to \mu\nu)} = 1.230 \pm 0.004 \times 10^{-4}$$

· Va confrontata con il risultato del nostro calcolo

$$R = \frac{\Gamma(\pi \to e\nu)}{\Gamma(\pi \to \mu\nu)} = \frac{m_e^2 \left(m_\pi^2 - m_e^2\right)^2}{m_\mu^2 \left(m_\pi^2 - m_\mu^2\right)^2} \qquad R = 2.339 \times 10^{-5} \times 5.487 = 1.283 \times 10^{-4}$$

- Vediamo che il nostro calcolo riproduce molto bene l'ordine di grandezza
- L'ingrediente chiave è la massa del leptone la cui origine è dovuta all'accoppiamento di tipo vettoriale (γ^μ o $\gamma^5\gamma^\mu$)